

# СВОЙСТВА ДВИЖУЩИХСЯ ДИСКРЕТНЫХ БРИЗЕРОВ В МОНОАТОМНОМ ДВУМЕРНОМ КРИСТАЛЛЕ

*A. A. Кистанов<sup>a</sup>\*, A. С. Семенов<sup>b</sup>, C. В. Дмитриев<sup>a,c,d</sup>*

*<sup>a</sup> Институт проблем сверхпластиности металлов Российской академии наук  
450001, Уфа, Россия*

*<sup>b</sup> Мирнинский политехнический институт,  
филиал Северо-Восточного федерального университета им. М. К. Аммосова  
678170, Мирный, Россия*

*<sup>c</sup> Санкт-Петербургский государственный политехнический университет  
195251, Санкт-Петербург, Россия*

*<sup>d</sup> Башкирский государственный университет  
450074, Уфа, Россия*

Поступила в редакцию 12 апреля 2014 г.

Методом молекулярной динамики определены области параметров анзаца для задания начальных условий, приводящих к запуску неподвижных и движущихся дискретных бризеров в моноатомном двумерном кристалле с морзевским межатомным взаимодействием. Установлены основные тенденции влияния параметров анзаца на амплитуду и скорость дискретных бризеров.

DOI: 10.7868/S0044451014100228

являются строго периодическими во времени и имеют конечные времена жизни [7].

## 1. ВВЕДЕНИЕ

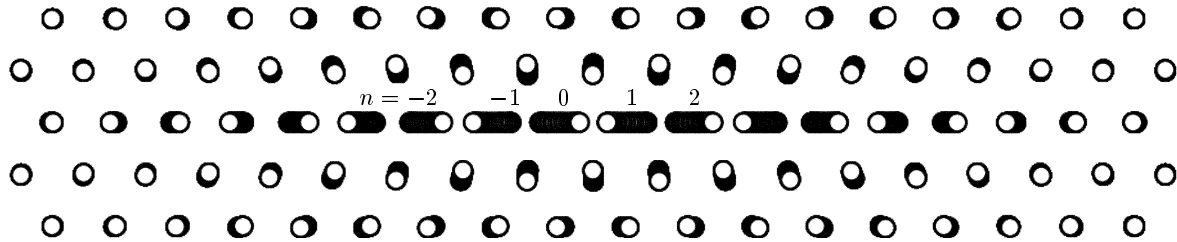
Дискретные бризеры (ДБ), представляющие собой нелинейные пространственно-локализованные колебательные моды в бездефектных решетках, в последнее время активно исследуются в контексте физики конденсированного состояния [1–4]. ДБ имеют частоты колебаний вне фононного спектра кристаллов, поэтому они не теряют свою энергию на возбуждение фононов и могут иметь весьма большие времена жизни [5, 6]. ДБ в кристаллах можно разбить на две большие группы по типу нелинейности. При мягком (жестком) типе нелинейности частота ДБ уменьшается (растет) с ростом амплитуды. Необходимым условием существования ДБ с мягким типом нелинейности является наличие щели в фононном спектре и, соответственно, такие ДБ, имеющие частоты в щели фононного спектра, называются щелевыми. ДБ в реальных нелинейных системах более точно именовать квазибризерами, поскольку они не

являются строго периодическими во времени и имеют конечные времена жизни [7].

Метод молекулярной динамики широко используется для исследования ДБ в кристаллах [8–23]. Изучались ДБ в трехмерной модельной решетке упорядоченного сплава Pt<sub>3</sub>Al [12], в ГЦК-металлах Ni и Nb [13], в углеродных нанотрубках [14], а также в графане [15] и упруго-деформированных графене [16–18] и графеновых нанолентах [19]. Различные аспекты существования щелевых ДБ и способов их возбуждения в биатомных кристаллах изучались в работах [4, 20–23].

Вопрос о движении ДБ по кристаллической решетке является важным для понимания их роли в физических процессах, происходящих в кристаллах. Нередко ДБ привязаны к определенному решеточному узлу, но в ряде случаев они могут быть подвижными [24]. Движущиеся ДБ могут сталкиваться друг с другом, приводя к локализации значительной энергии в точке столкновения, которая может расходоваться на создание дефектов кристаллической структуры или на активизацию фазовых переходов или разрушения. Кроме того, исследовались процессы столкновения движущихся ДБ с несовер-

\*E-mail: andrei.kistanov.ufa@gmail.com



**Рис. 1.** Стробоскопическая картина движения атомов ДБ в двумерном кристалле с межатомным потенциалом (1) для  $\alpha = 5$ , полученного при помощи анзаца (2), (3) (атомные перемещения увеличены в 3.7 раза). Показана нумерация цепочки атомов, используемая при задании начальных условий

шествиями кристаллической решетки, например с примесями [25].

Роль ДБ в формировании физических свойств кристаллов все еще остается слабо изученной. Тем не менее концепция ДБ все шире привлекается для объяснения различных экспериментально наблюдаемых эффектов. В работах [26, 27] обсуждается возможное влияние ДБ на электропластичность и прочность металлов [28, 29]. Для объяснения механизмов транспорта электронов была предложена концепция солектона [30, 31].

В работе [32] был предложен анзац для задания начальных условий, описывающих движущиеся ДБ с жестким типом нелинейности в моноатомном кристалле, однако влияние параметров анзаца на характеристики ДБ не было систематически изучено. В данной работе проводится данное исследование.

## 2. ОПИСАНИЕ МОДЕЛИ

Рассматривается модель двумерного плотноупакованного кристалла. Используется расчетная ячейка, содержащая  $160 \times 160$  атомов, с периодическими граничными условиями. Каждый атом имеет две степени свободы — компоненты вектора перемещения в плоскости кристалла. В центре расчетной ячейки возбуждался ДБ, а на ее периферии вводилось вязкое трение для поглощения малоамплитудных колебаний, излучаемых ДБ.

Взаимодействие атомов описывается дальнодействующим парным потенциалом Морзе

$$V(r) = D \{ \exp[-2\alpha(r - r_m)] - 2 \exp[-\alpha(r - r_m)] \}, \quad (1)$$

где  $r$  — расстояние между парой атомов,  $D$ ,  $\alpha$ ,  $r_m$  — параметры потенциала. Функция  $V(r)$  имеет минимум при  $r = r_m$ , глубина минимума (энергия разры

ва связи) равна  $D$ , а параметр  $\alpha$  определяет жесткость межатомной связи. Без потери общности используются безразмерные единицы энергии, длины и времени, такие, что  $D = r_m = 1$ , и масса атома равна единице. Рассмотрено значение  $\alpha = 5$ , для которого равновесное межатомное расстояние равнялось  $a = 0.98813$  при радиусе обрезки потенциала 5.5 межатомных расстояний.

## 3. СПОСОБ ВОЗБУЖДЕНИЯ ДИСКРЕТНЫХ БРИЗЕРОВ

Атомы одного из плотноупакованных рядов кристалла нумеровались индексом  $n$ , как показано на рис. 1.

Начальные условия для движущегося ДБ задавались для атомов одной плотноупакованной цепочки следующим образом:

$$\begin{aligned} x_n(t) &= \cos [\omega t + \varphi_0 + \delta(n - x_0)] x_n^0, \\ y_n &= 0, \quad \dot{y}_n = 0, \end{aligned} \quad (2)$$

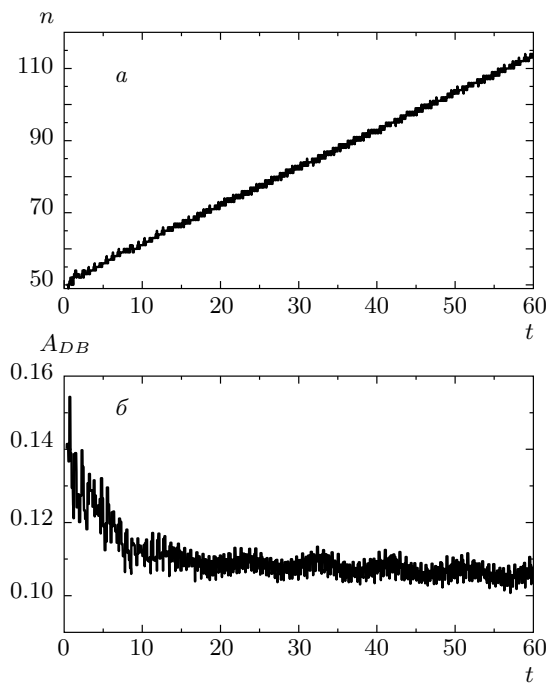
где  $\omega$  — частота ДБ, лежащая выше фононного спектра кристалла,  $\varphi_0$  — начальная фаза колебаний,  $\delta$  — параметр, определяющий разность фаз колебаний соседних атомов. Значения  $x_n^0$  определены выражением

$$x_n^0 = (-1)^n T_n^0 + S_n^0, \quad (3)$$

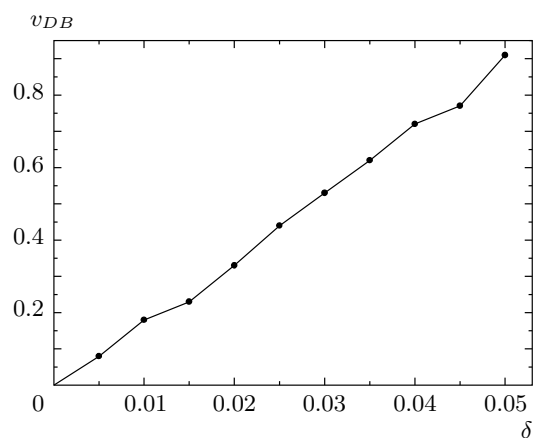
где

$$T_n^0 = \frac{A}{\operatorname{ch}[\beta(n - x_0)]}, \quad S_n^0 = -\frac{B(n - x_0)}{\operatorname{ch}[\gamma(n - x_0)]},$$

параметр  $A$  определяет амплитуду ДБ, параметр  $B$  — амплитуду смещений центров колебаний атомов, параметры  $\beta$  и  $\gamma$  задают степень пространственной локализации ДБ, а  $x_0$  — его начальное положение. При  $x_0 = 0$  имеем ДБ, центрированный на атоме, а при  $x_0 = 1/2$  — посередине между двумя



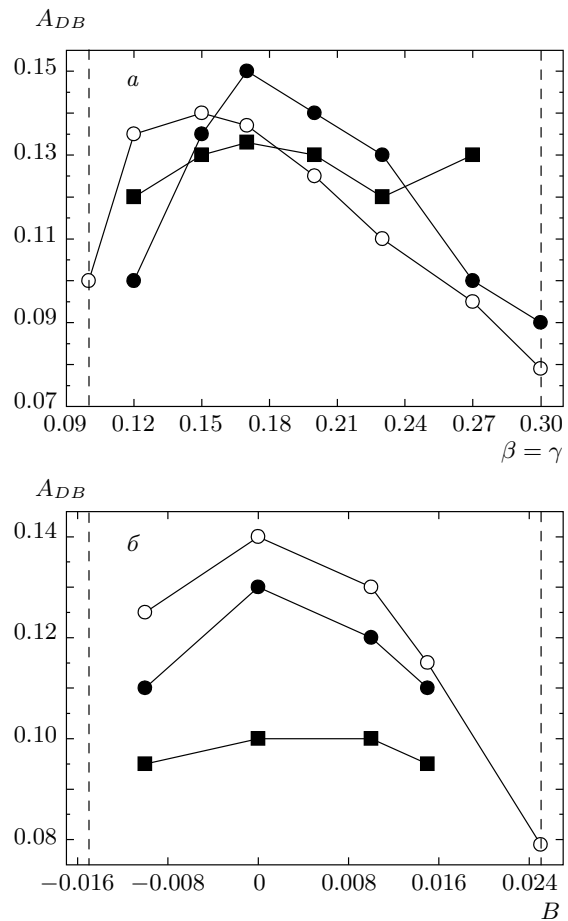
**Рис. 2.** Решеточное положение центра ДБ (а) и амплитуда ДБ (б) как функции времени для параметров анзаца (2), (3)  $A = 0.3$ ,  $B = 0$ ,  $\beta = \gamma = 0.33$ ,  $\delta = 0.05$



**Рис. 3.** Зависимость скорости ДБ от параметра  $\delta$  для  $A = 0.3$ ,  $B = 0.012$ ,  $\beta = \gamma = 0.27$

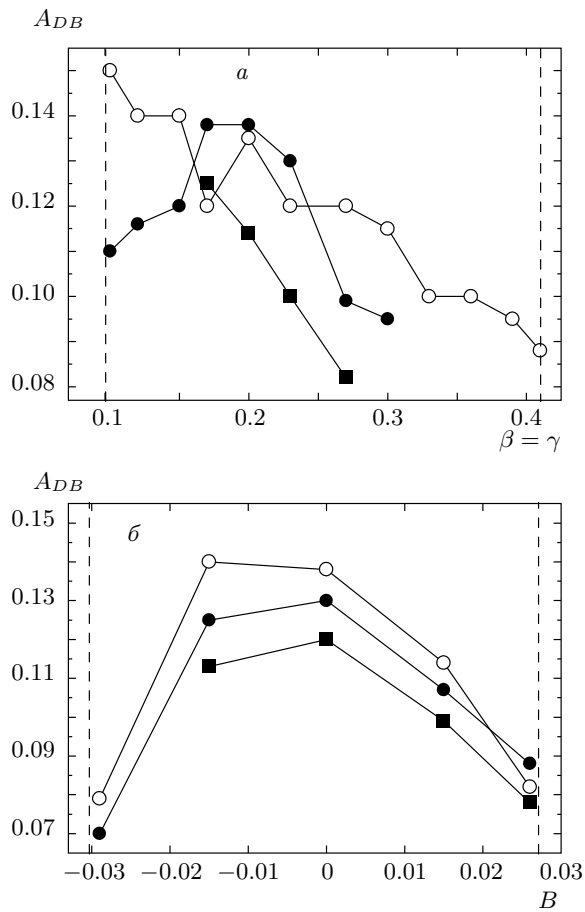
соседними атомами. Отметим, что скорость ДБ зависит от  $\delta$ , и при  $\delta = 0$  имеем неподвижный ДБ. Все атомы, не принадлежащие рассматриваемой цепочке, имели нулевые начальные смещения и скорости.

Анзац (2), (3) принимает во внимание результаты работы [13] и учитывает тот факт, что ДБ является экспоненциально локализованным в пространстве объектом, что обеспечивается использованием



**Рис. 4.** Зависимости амплитуд неподвижных ДБ от  $\beta = \gamma$  (а) для  $B = -0.01$  ( $\circ$ ),  $0$  ( $\bullet$ ),  $0.01$  ( $\blacksquare$ ) и от  $B$  (б) для  $\beta = \gamma = 0.20$  ( $\circ$ ),  $0.23$  ( $\bullet$ ),  $0.27$  ( $\blacksquare$ ), полученных для  $\delta = 0$ ,  $A = 0.14$ . Вертикальными штриховыми линиями показаны границы областей параметров  $\beta = \gamma$  (а) и  $B$  (б), где удается возбудить ДБ

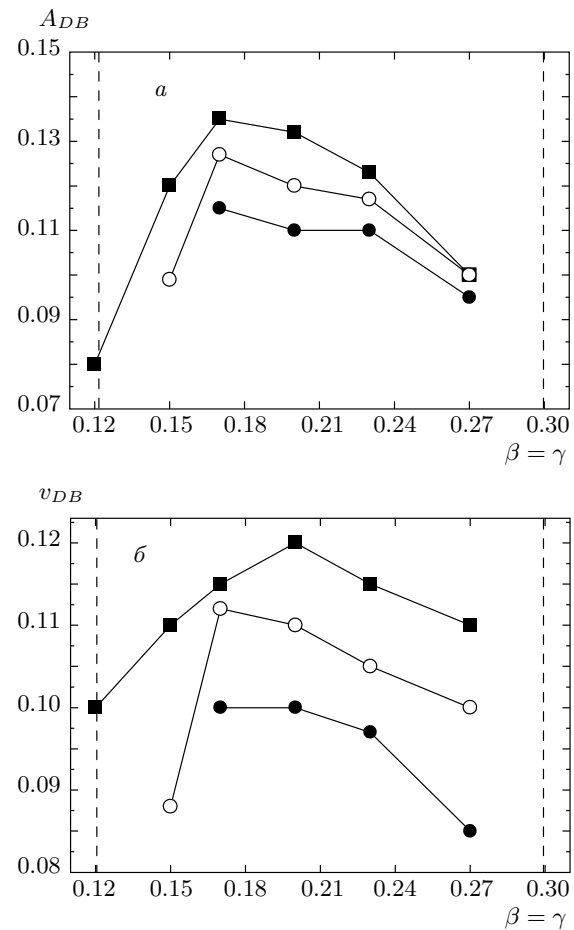
гиперболических функций в выражении (3). Кроме того, частота ДБ должна лежать выше фононного спектра кристалла, что может быть реализовано только для наиболее коротковолновой колебательной моды, когда соседние атомы движутся в противофазе. Данное требование выполняется за счет введения множителя  $(-1)^n$  перед амплитудами  $T_n^0$  атомов в формуле (3). Слагаемое  $S_n^0$  в (3) учитывает эффект разрежения в области ДБ за счет ангармонизмов межатомных сил, когда центры колебаний атомов плотноупакованного ряда смещаются в обе стороны от центра ДБ. Наконец, движение ДБ по кристаллу обеспечивается введением в формулу (2) небольшой разности фаз  $\delta$  в колебания соседних атомов.



**Рис. 5.** Зависимости амплитуд неподвижных ДБ от  $\beta = \gamma$  (а) для  $B = -0.015$  (○), 0 (●), 0.015 (■) и от  $B$  (б) для  $\beta = \gamma = 0.20$  (○), 0.23 (●), 0.27 (■), полученных для  $\delta = 0$ ,  $A = 0.15$ . Вертикальными штриховыми линиями показаны границы областей параметров  $\beta = \gamma$  (а) и  $B$  (б), где удается возбудить ДБ

В продолжение работы [32] здесь анализируется влияние всех параметров анзаца (2), (3) на возможность запуска ДБ и параметры получаемых ДБ.

На рис. 2 в качестве примера представлены решеточное положение центра ДБ и амплитуда ДБ как функции времени. Из-за неточности задания начальных условий ДБ излучает часть энергии в виде маломощных волн и для  $t > 20$  приобретает практически постоянную скорость движения  $v_{DB}$  и амплитуду  $A_{DB}$ , слабо осциллирующую около определенного значения. Скорость ДБ рассчитывалась по наклону прямой на рис. 2а с учетом того, что координата ДБ вычисляется как  $x = an$ . Амплитуда ДБ определялась как среднее значение на участке стационарного движения. В данном примере  $v_{DB} = 1$  и  $A_{DB} = 0.115$ .



**Рис. 6.** Амплитуды (а) и скорости (б) ДБ, полученные для  $\delta = 0.05$ ,  $A = 0.14$  и  $B = 0.009$  (■) 0.012 (○), 0.015 (●), как функции  $\beta = \gamma$ . Вертикальными штриховыми линиями показаны граничные значения параметров  $\beta = \gamma$ , где удается возбудить ДБ

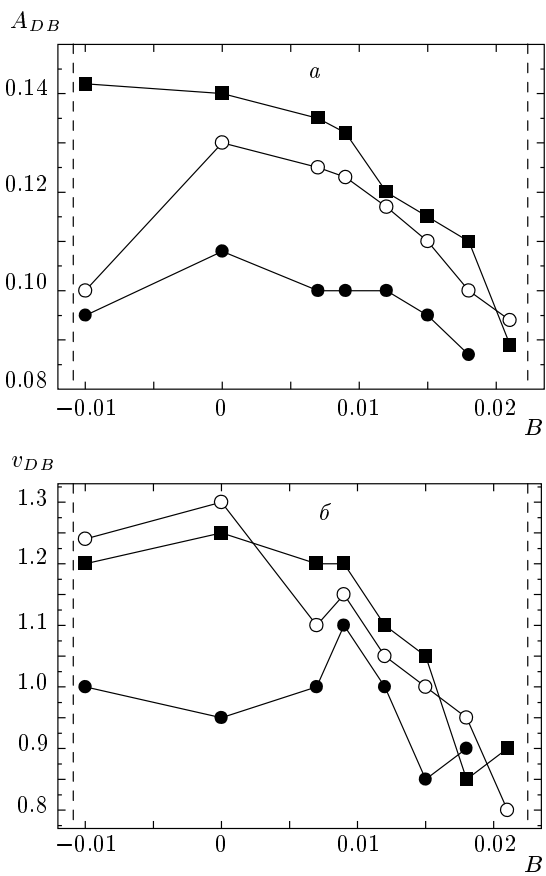
#### 4. РЕЗУЛЬТАТЫ МОДЕЛИРОВАНИЯ

Для анзаца (2), (3) проводилось исследование влияния параметров  $\delta$ ,  $A$ ,  $B$ ,  $\beta = \gamma$  на характеристики получаемых ДБ.

На рис. 3 показана зависимость скорости ДБ от параметра  $\delta$  для  $A = 0.3$ ,  $B = 0.012$ ,  $\beta = \gamma = 0.27$ . Отметим, что зависимость  $v(\delta)$  линейная и обрывается при  $\delta = 0.05$ . Для  $\delta > 0.05$  варьированием параметров  $A$ ,  $B$ ,  $\beta = \gamma$  движущийся ДБ получить не удалось.

В дальнейшем рассматриваются неподвижный ДБ,  $\delta = 0$ , и движущийся ДБ, получаемый при фиксированном значении  $\delta = 0.05$ .

Для параметра  $A$ , определяющего амплитуду ДБ в (3), были выбраны два значения,  $A = 0.14$ , 0.15. Для параметров  $B$  и  $\beta = \gamma$  были рассмотрены

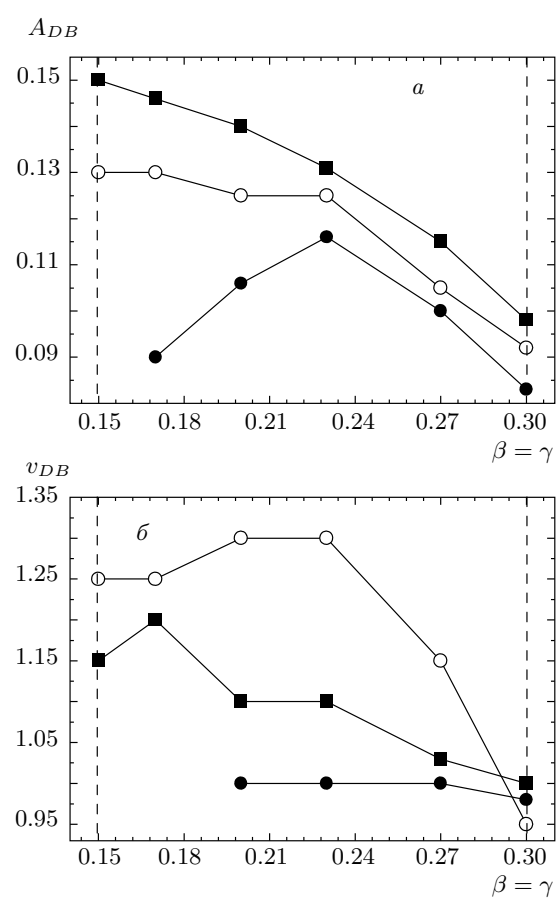


**Рис. 7.** Амплитуды (*a*) и скорости (*б*) ДБ, полученных для  $\delta = 0.05$ ,  $A = 0.14$  и  $\beta = \gamma = 0.20$  (■),  $0.23$  (○),  $0.27$  (●), как функции  $B$ . Вертикальными штриховыми линиями показаны граничные значения параметра  $B$ , где удается возбудить ДБ

значения  $B = -0.029, -0.010, 0, 0.015, 0.025$  и  $\beta = \gamma = 0.10, 0.12, 0.15, 0.17, 0.20, 0.23, 0.27, 0.30, 0.33, 0.36, 0.39, 0.41$ .

На рис. 4 $a$  для значений параметров  $\delta = 0$ ,  $A = 0.14$  и  $B = -0.01, 0, 0.01$  показаны амплитуды  $A_{DB}$  полученных неподвижных ДБ как функции  $\beta = \gamma$ . Вертикальными штриховыми линиями показаны левая ( $\beta = \gamma = 0.1$ ) и правая ( $\beta = \gamma = 0.3$ ) границы области данных параметров, где удается возбудить ДБ. На рис. 4 $b$  для значений параметров  $A = 0.14$ ,  $\delta = 0$  и  $\beta = \gamma = 0.20, 0.23, 0.27$  показаны амплитуды  $A_{DB}$  неподвижных ДБ как функции  $B$ . Вертикальными штриховыми линиями показаны границы области параметра  $-0.015 < B < 0.026$ , где удается возбудить ДБ.

На рис. 5 $a$  для фиксированных значений задаваемых параметров  $A$ ,  $\delta$  и  $B$  показаны амплитуды  $A_{DB}$  полученных неподвижных ДБ как функции от



**Рис. 8.** То же, что и на рис. 6, но для  $A = 0.15$  и  $B = 0.012$  (■)  $0.015$  (○),  $0.018$  (●)

$\beta = \gamma$ ; вертикальными штриховыми линиями показаны граничные значения параметров  $\beta = \gamma$  (минимальное  $\beta = \gamma = 0.1$  и максимальное  $\beta = \gamma = 0.41$ ). На рис. 5 $b$  для фиксированных значений задаваемых параметров  $A$ ,  $\delta$  и  $\beta = \gamma$  показаны амплитуды  $A_{DB}$  полученных неподвижных ДБ как функции от  $B$  (минимальное значение  $B = -0.029$ , максимальное значение  $B = 0.026$ ).

На рис. 6 для значений параметров  $\delta = 0.05$ ,  $A = 0.14$  и  $B = 0.009, 0.012, 0.015$  показаны амплитуды и скорости полученных ДБ как функции  $\beta = \gamma$ .

На рис. 7 показаны амплитуды и скорости ДБ, полученных для  $\delta = 0.05$ ,  $A = 0.14$  и  $\beta = \gamma = 0.20, 0.23, 0.27$ , как функции  $B$ .

Из рис. 6 и 7 видно, что для исследованного интервала параметров  $\beta = \gamma$  и  $B$  при  $A = 0.14$  наибольшая амплитуда и наибольшая скорость ДБ наблюдаются при  $\beta = \gamma = 0.20, 0.23$  и  $B = 0.009, 0.012$ .

На рис. 8 показано то же, что и на рис. 6, но для  $A = 0.15$  и  $B = 0.012, 0.015, 0.018$ . На рис. 9 пока-

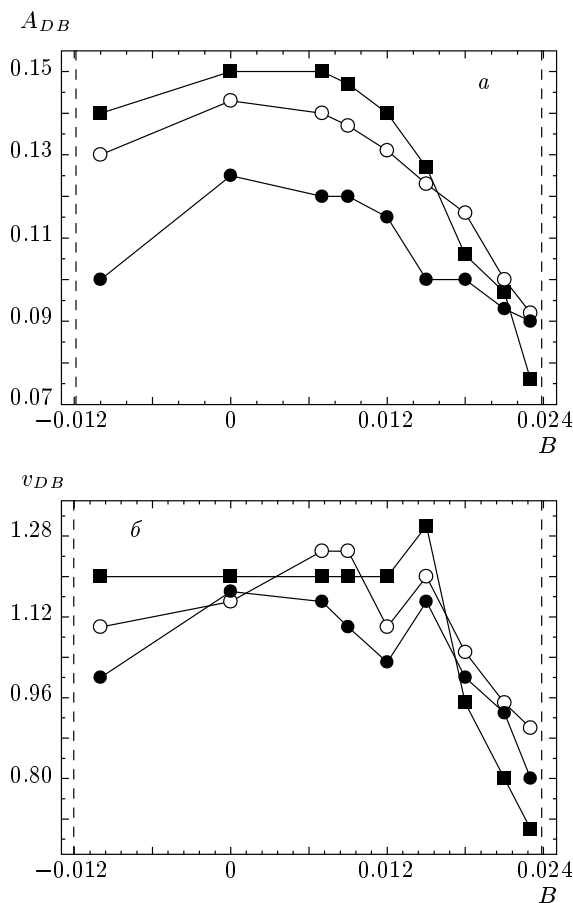


Рис. 9. То же, что и на рис. 7, но для  $A = 0.15$

зано то же, что и на рис. 7, но для  $A = 0.15$ . Из рис. 8 и 9 видно, что для исследованного интервала параметров  $\beta = \gamma$  и  $B$  при  $\delta = 0.05$  и  $A = 0.15$  наибольшая амплитуда и наибольшая скорость ДБ наблюдаются при  $\beta = \gamma = 0.20, 0.23$  и  $B = 0.012, 0.015$ .

## 5. ВЫВОДЫ

В двумерном моноатомном кристалле с морзеевским потенциалом взаимодействия проведено исследование влияния параметров  $\delta$ ,  $A$ ,  $B$ ,  $\beta = \gamma$  анзыза (2), (3), предложенного в работе [32], на характеристики неподвижных и движущихся ДБ. Определены области значений параметров  $B$ ,  $\beta = \gamma$ , где удается возбудить неподвижный ДБ ( $\delta = 0$ ) и движущийся ДБ ( $\delta = 0.05$ ). Установлено, что амплитуда неподвижных ДБ максимальна при  $B = -0.015$  и  $\beta = \gamma = 0.2$ . Амплитуда и скорость движущихся ДБ при  $\delta = 0.05$  и  $A = 0.14$  максимальны при  $\beta = \gamma = 0.20, 0.23$  и  $B = 0.009, 0.012$ . Если положить

$A = 0.15$ , то максимальные амплитуды и скорости наблюдаются при  $\beta = \gamma = 0.20, 0.23$  и  $B = 0.012, 0.015$ .

Полученные в данной работе результаты предполагается использовать для изучения результатов взаимодействия ДБ друг с другом и с дефектами кристаллической решетки, такими как вакансии, свободные границы и др.

Работа одного из авторов (А. А. К.) поддержана Российским научным фондом (грант № 14-13-00982). Другой автор (С. В. Д.) благодарит Программу правительства РФ (5-100-2020) за финансовую поддержку.

## ЛИТЕРАТУРА

1. S. Flach and A. V. Gorbach, Phys. Rep. **467**, 1 (2008).
2. M. E. Manley, Acta Mater. **58**, 2926 (2010).
3. С. В. Дмитриев, Письма о материалах **1**(2), 78 (2011).
4. Н. Н. Медведев, М. Д. Старостенков, П. В. Захаров, О. В. Пожидаева, Письма в ЖТФ **37**, 7 (2011).
5. A. J. Sievers and S. Takeno, Phys. Rev. Lett. **61**, 970 (1988).
6. G. S. Bezuglova, G. M. Chechin, and P. P. Goncharov, Phys. Rev. E **84**, 036606 (2011).
7. G. M. Chechin, G. S. Dzhelauhova, and E. A. Meloshina, Phys. Rev. E **74**, 036608 (2006).
8. S. A. Kiselev and A. J. Sievers, Phys. Rev. **55**, 5755 (1997).
9. А. А. Кистанов, С. В. Дмитриев, Письма в ЖТФ **39**(13), 78 (2013).
10. А. А. Кистанов, Ю. А. Баймова, С. В. Дмитриев, Письма в ЖТФ **38**(14), 72 (2012).
11. А. А. Кистанов, Фундаментальные проблемы современного материаловедения **11**, 9 (2014).
12. Н. Н. Медведев, М. Д. Старостенков, П. В. Захаров, А. В. Маркионов, Письма о материалах **3**(1), 34 (2013).
13. M. Haas, V. Hizhnyakov, A. Shelkan et al., Phys. Rev. B **84**, 144303 (2011).
14. T. Shimada, D. Shirasaki, and T. Kitamura, Phys. Rev. B **81**, 035401 (2010).

- 15.** B. Liu, J. A. Baimova, S. V. Dmitriev et al., *J. Phys. D* **46**, 305302 (2013).
- 16.** Л. З. Хадеева, С. В. Дмитриев, Ю. С. Кившарь, *Письма в ЖЭТФ* **94**, 580 (2011).
- 17.** J. A. Baimova, S. V. Dmitriev, and K. Zhou, *Europhys. Lett.* **100**, 36005 (2012).
- 18.** Y. Yamayose, Y. Kinoshita, Y. Doi et al., *Europhys. Lett.* **80**, 40008 (2007).
- 19.** E. A. Korznikova, J. A. Baimova, and S. V. Dmitriev, *Europhys. Lett.* **102**, 60004 (2013).
- 20.** С. В. Дмитриев, Л. З. Хадеева, А. И. Пшеничнюк, Н. Н. Медведев, *ФТТ* **52**, 1398 (2010).
- 21.** О. В. Пожидаева, С. В. Дмитриев, Н. Н. Медведев и др., *Фундаментальные проблемы современного материаловедения* **4**, 102 (2007).
- 22.** Н. Н. Медведев, С. В. Дмитриев, М. Д. Старостенков, *Фундаментальные проблемы современного материаловедения* **4**, 100 (2007).
- 23.** S. V. Dmitriev, A. I. Pshenichnyuk, L. Z. Khadeeva et al., *Phys. Rev. B* **80**, 094302 (2009).
- 24.** D. Chen, S. Aubry, and G. P. Tsironis, *Phys. Rev. Lett.* **77**, 4776 (1996).
- 25.** J. Cuevas, F. Palmero, J. F. R. Archilla, and F. R. Romero, *J. Phys. A* **35**, 10519 (2002).
- 26.** В. И. Дубинко, А. В. Дубинко, С. В. Дмитриев, *Письма о материалах* **3**, 239 (2013).
- 27.** В. И. Дубинко, Е. Е. Журкин, П. Ю. Григорьев и др., *Письма о материалах* **3**, 230 (2013).
- 28.** В. В. Столяров, *Письма о материалах* **1**, 75 (2011).
- 29.** В. В. Столяров, *Письма о материалах* **3**, 137 (2013).
- 30.** M. G. Velarde, *J. Comput. Appl. Math.* **233**, 1432 (2010).
- 31.** M. G. Velarde, W. Ebeling, and A. P. Chetverikov, *Int. J. Bifurcat. Chaos* **21**, 1595 (2011).
- 32.** А. А. Кистанов, Р. Т. Мурзаев, С. В. Дмитриев и др., *Письма в ЖЭТФ* **99**, 403 (2014).